

# Experimentelle Physik I

## WS 16/17

Veranstaltung 4010011

<https://campus.studium.kit.edu/event/H7Ke2neVDU6OCiWVculqYw>

PD Dr. Andreas B. Meyer (KIT und DESY)

**16. Vorlesung: 3.1 Gravitation (1)**

## 2.6. Zusammenfassung Mechanik

### Die Newtonschen Gesetze

dreier Teilen

$$N_1: \sum_i \vec{F}_i = 0 \Rightarrow \vec{a} = 0$$

Trägheitsgesetz

$$N_2: \vec{F} = \frac{d}{dt} (m \cdot \vec{v}) ; \text{ falls } m = \text{const.} : \vec{F} = m \cdot \vec{a}$$

Newtonsche  
Bewegungsglg.

⇒ Impulserhaltung  
Superpositionsprinzip  
Actio = Reactio

Beispiele u. Versuche: Konstante u. zeitabhängige Kräfte  
ohne und mit Reibung DGL

### Arbeit und Energie

$$\Delta A = \vec{F}(\vec{r}) \cdot \Delta \vec{r}$$

$$\oint \vec{F}(\vec{r}) = 0 \Leftrightarrow \vec{F}(\vec{r}) \text{ ist konservativ}$$

$$\Leftrightarrow \exists V(\vec{r}) \neq 0, \text{ da} \vec{F}(\vec{r}) = -\vec{\nabla} V(\vec{r})$$

In konservativen Kraftfeldern ist die Energie erhalten

$$E_{\text{tot}} = E_{\text{kin}} + E_{\text{pot}} = \text{const.}$$

Beispiele u. Experimente zur Energieerhaltung

### Systeme von Massenpunkten

$$\vec{r}_{\text{CM}} = \frac{1}{M} \cdot \sum_i m_i \vec{r}_i$$

Schwerpunkt verhält sich wie  
ein Massenpunkt der Masse  $M$

Impulserhaltung jetzt nützlich

Elastische u. inelastische Stöße vergl. "Zerfälle", Rakete

# Rotation massiver Objekte

Massenträgheitsmoment

$$J = \sum m r^2$$

Rotationsenergie

$$E = \frac{1}{2} J \omega^2$$

$$= \frac{L^2}{2J}$$
$$= \frac{dL}{dt}$$

Drehmoment

$$\vec{M} = \vec{r} \times \vec{F}$$

Drehimpuls

$$\vec{L} = \vec{r} \times \vec{p} = \overset{(\sim)}{J} \cdot \vec{\omega}$$

## Beispiele u. Experimente zur Rotation

z.B. Drehschwingungen

Trägheitskräfte in beschleunigten Bezugssystemen

Zentrifugalkraft

Corioliskraft

## Rotation um freie Achsen (insbes. symmetrische Kreisel)

stabile Rotation

ohne  $\vec{M}$

$$\vec{L} \parallel \vec{\omega}$$

Präzession

mit äußerem  $\vec{M}$

$$\vec{L} \parallel \vec{\omega}_F$$

Nutation

ohne  $\vec{M}$

$$\vec{L} \nparallel \vec{\omega}$$

Überlagerung von Präzession u. Nutation

Nachtrag: Trägheitsellipsoid: Für Punkte auf Ellipsoid gilt:

$$R^2 J = K = \text{const.} \quad \Rightarrow \quad R \propto \frac{1}{\sqrt{J}}$$

Skalierung der Ellipsoid-Achsen mit  $\frac{1}{\sqrt{J}}$ :  $\hat{=}$   
Reckkomponenten des Körpers

# 3. Gravitation

## Fundamentale Kräfte

- Gravitation
- Elektromagnetische Kraft
- Schwache Kernkraft
- Starke Kernkraft

## 3.1. Gravitationsgesetz

### Historisch:

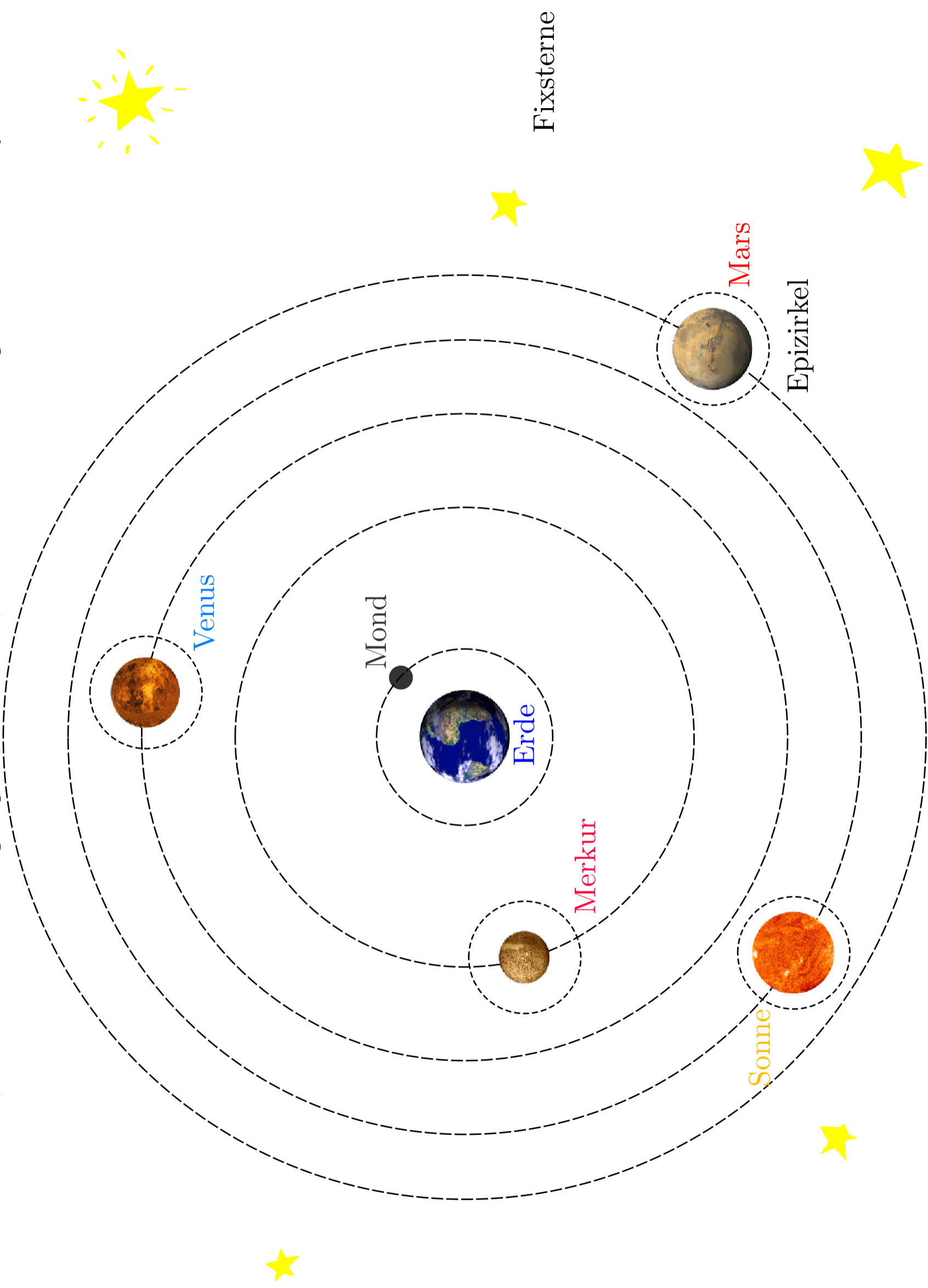
- um 140: Ptolemäus
  - geozentrisches System
- 1473-1543: Kopernikus
  - heliozentrisches System

„Kopernikanische Wende“
- 1546-1601 Brahe
  - geo-heliozentrisches System
  - präzise astronomische Instrumente u. Beobachtungen

im Gegensatz zu göttlichen Ein-sichten
- 1571-1630 Kepler (Assistent von Brahe)
  - Empirische Gesetze der Planetenbahnen

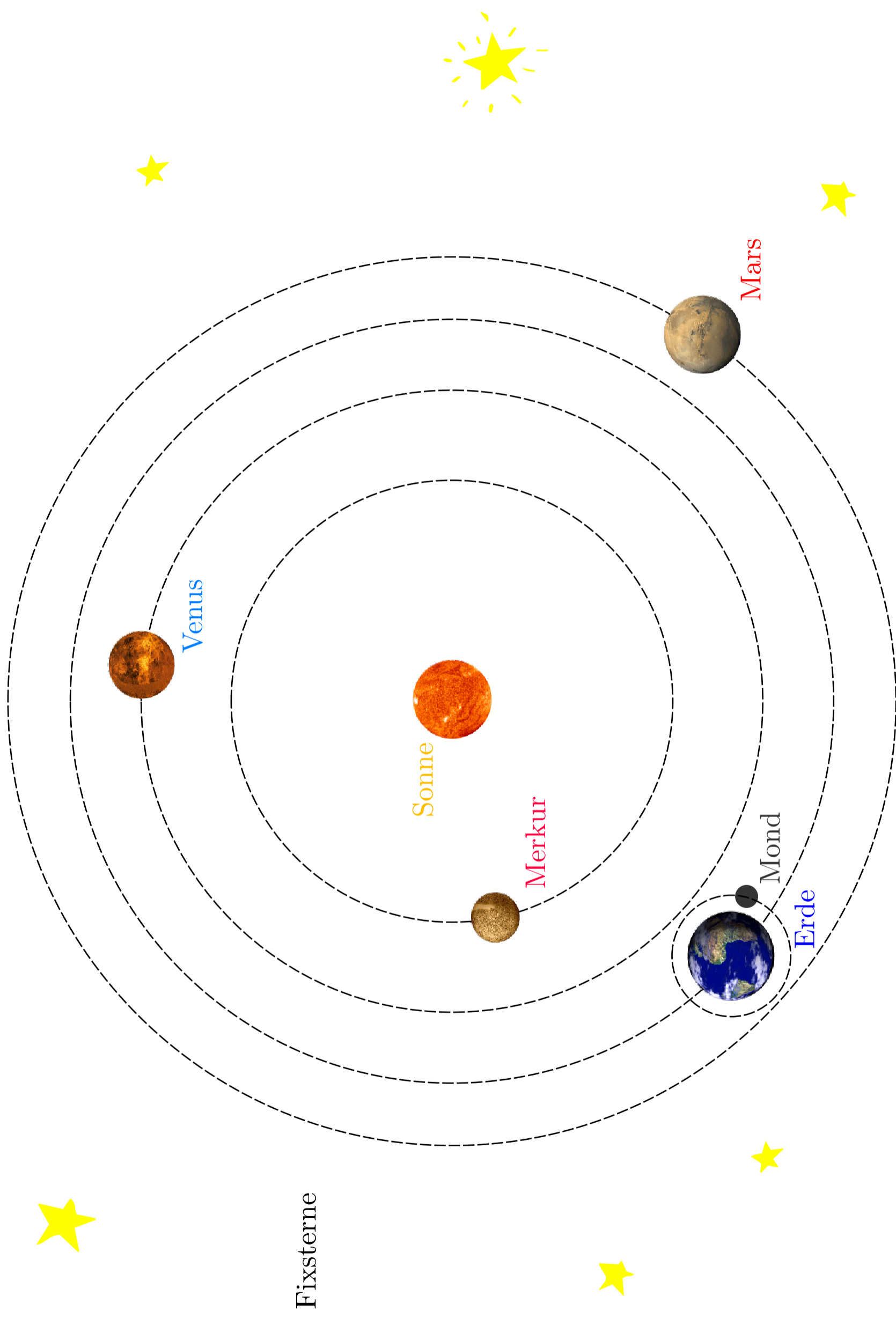
## ≈ 0 A.D.: Ptolemäus

Der erste Versuch, die Planetenbewegung zu verstehen, war die Idee eines geozentrischen Systems.



## 1473-1543: Copernikus

COPERNIKUS war für die Entwicklung der Theorie des heliozentrischen Systems verantwortlich.

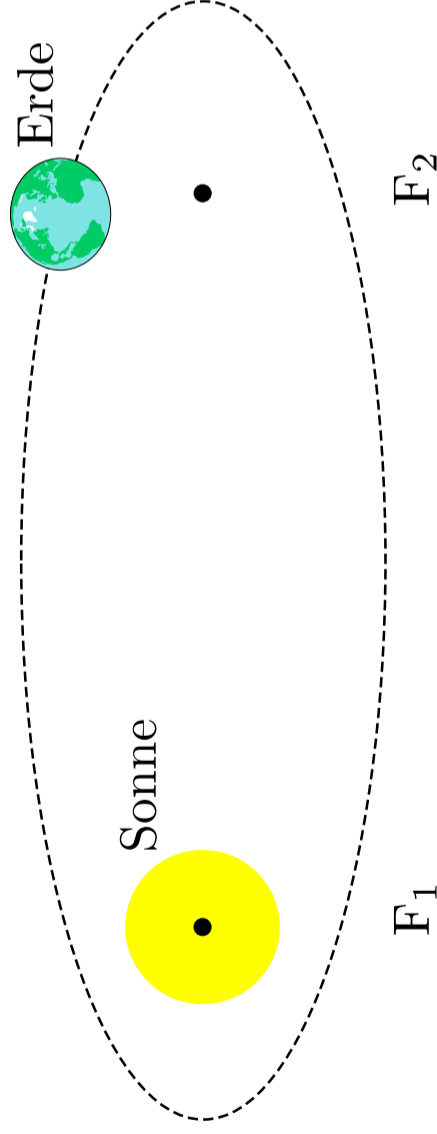


## 1571-1630: Kepler (Assistent von Brahe, mit Teleskop)

KEPLER stellte empirische Gesetze zur Planetenbewegung auf.

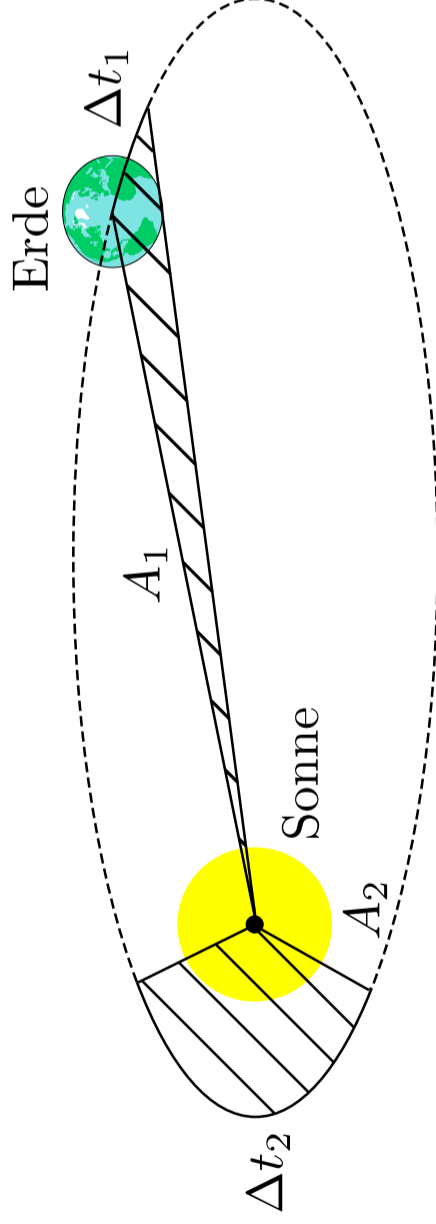
### ① Gesetz der Laufbahn (Orbit):

Planetenbahnen sind Ellipsen mit der Sonne in einem der beiden Brennpunkte (Focusse).



### ② Flächengesetz:

Linie zwischen Sonne und Planet überstreicht in gleicher Zeit gleiche Fläche.



$$\frac{A_1}{A_2} = \frac{\Delta t_1}{\Delta t_2}$$

### ③ Periodengesetz:

$$T^2 \sim \langle R \rangle^3$$

$T \hat{=}$  Umlaufperiode,  $\langle R \rangle \hat{=}$  mittlerer Radius

• 1642 - 1727 Newton

Fallende Körper u. Planetenbahnen  
beruhen auf der gleichen Kraft

• Gravitationsgesetz

- Kraft der Masse  $m_1$   
auf Masse  $m_2$

-  $G = 6,67 \cdot 10^{-11} \frac{\text{Nm}^2}{\text{kg}^2}$

- Diskussion

$$\vec{F}_{21} = -G \frac{m_1 m_2}{r^2} \cdot \vec{e}_{12}$$



①  $G = \text{const} ; \frac{dG}{dt} = 0$

Naturkonstante

②  $F \propto m_1 \cdot m_2$

Warum  $m_1 \cdot m_2$ ?

- symmetrisch

D.h.  $F_{12} = F_{21}$

- Superpositionsprinzip

Definiere Einheits-element  $\Delta m$

Kraft zwischen  $\Delta m$  u  $\Delta m$ :  $\Delta \vec{F} = \vec{F}_{\Delta m, \Delta m}$

$\Rightarrow m_1 = N_1 \cdot \Delta m$  und  $m_2 = N_2 \cdot \Delta m$

Superpositions-  
prinzip

$\Rightarrow \vec{F}_{N \cdot \Delta m, \Delta m} = N \cdot \Delta \vec{F}$

$\vec{F}_{N \Delta m, M \Delta m} = N \cdot M \cdot \Delta \vec{F}$

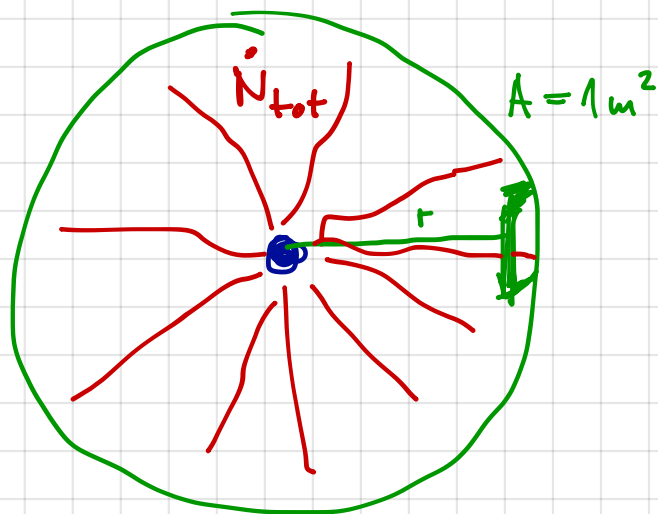
$$= \boxed{\vec{F}_{m_1, m_2} \propto m_1 \cdot m_2}$$



$$\textcircled{3} \quad F \propto \frac{1}{r^2}$$

Kraft vermittelt durch Austausch von Bosonen

↑  
masselose Gravitonen



Annahme:  $\frac{N \text{ Gravitonen}}{\text{Zeiteinheit}}$

Gesamtrate  $\dot{N}_{\text{tot}} = \frac{N}{\Delta t}$

Im Abstand  $r$  ist der Fluss durch das Oberflächenelement  $A$

$$\dot{N}(r) = \frac{N}{\Delta t} \cdot \frac{A}{4\pi r^2}$$

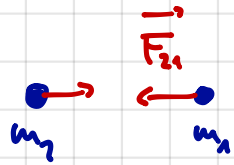
↑  
Kugeloberfläche

$$\dot{N}(r) \sim \frac{1}{r^2} \propto \text{Kraft } F(r)$$

Gravitationskraft hat unendliche Reichweite.

$$\vec{F}_G(\vec{r}) \neq 0 \text{ f\"ur alle } r.$$

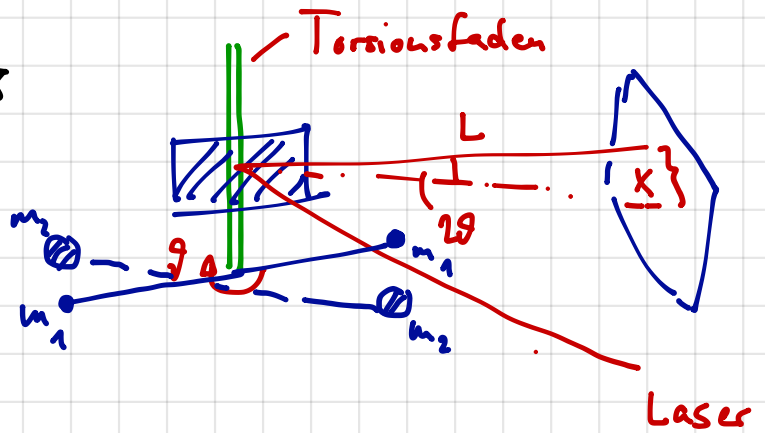
# 3.2. Bestimmung der Gravitations Konstanten



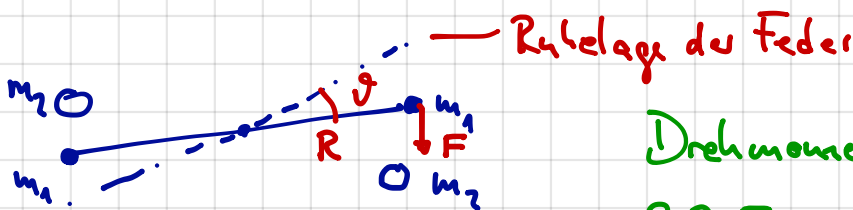
$$F_{21} = G \frac{m_1 m_2}{r^2}$$

Experiment: Cavendish 1798

historisch: Experiments to determine the density of the Earth



a) stabile Position:

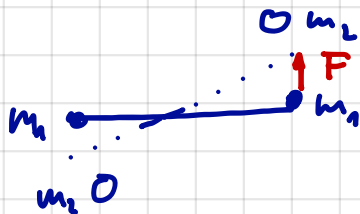


Drehmoment:

$$2 \cdot R \cdot F - D \vartheta = 0$$

2 Massen  $\uparrow$  Torsionsmodul (Federkonst.)  $\uparrow$

b) Umlageren von  $m_2$ :



Beschleunigung von  $m_1$

$$2RF + D\vartheta = J \cdot \frac{d^2\vartheta}{dt^2} = 2m_1 R^2 \frac{d^2\vartheta}{dt^2}$$

Näherung Abstände gleich  $\uparrow$  Näherung = 2RF auch für  $t > 0$   $\uparrow$

$$2 \cdot 2 \cdot R \cdot G \cdot \frac{m_1 \cdot m_2}{r^2} = 2m_1 R^2 \frac{d^2\vartheta}{dt^2} \Rightarrow G = \frac{1}{2} \frac{r^2 \cdot R}{m_2} \cdot \frac{d^2\vartheta}{dt^2}$$

(NB:  $m_1$  cancels)

Näherung:  $\frac{d^2 \vartheta}{dt^2} = \alpha = \text{const}$

Dann ist:  $\vartheta(t) = \vartheta_0 + \omega_0 \cdot t + \frac{1}{2} \alpha t^2 \Rightarrow \alpha = \frac{2\vartheta(t)}{t^2}$

Messung:  $2\vartheta(t) = \frac{x(t)}{L} \Rightarrow \alpha = \frac{x(t)}{L \cdot t^2}$

Zahlen:  $r = 4 \text{ cm}$ ,  $R = 5 \text{ cm}$ ,  $L = 14 \text{ m}$ ,  
 $m_2 = 1,5 \text{ kg}$ ,  $t$  und  $x(t)$  aus Messung

Messwerte:

$t [\text{s}]$	60	70	80	90	105	120	150
$x [\text{cm}]$	5	7	8,5	10	13,5	15,5	21,5

$$G = \frac{1}{2} \frac{(0,04 \text{ m})^2 \cdot 0,05 \text{ m}}{1,5 \text{ kg}} \cdot \frac{0,20 \text{ m}}{14 \text{ m} \cdot (90 \text{ s})^2} =$$

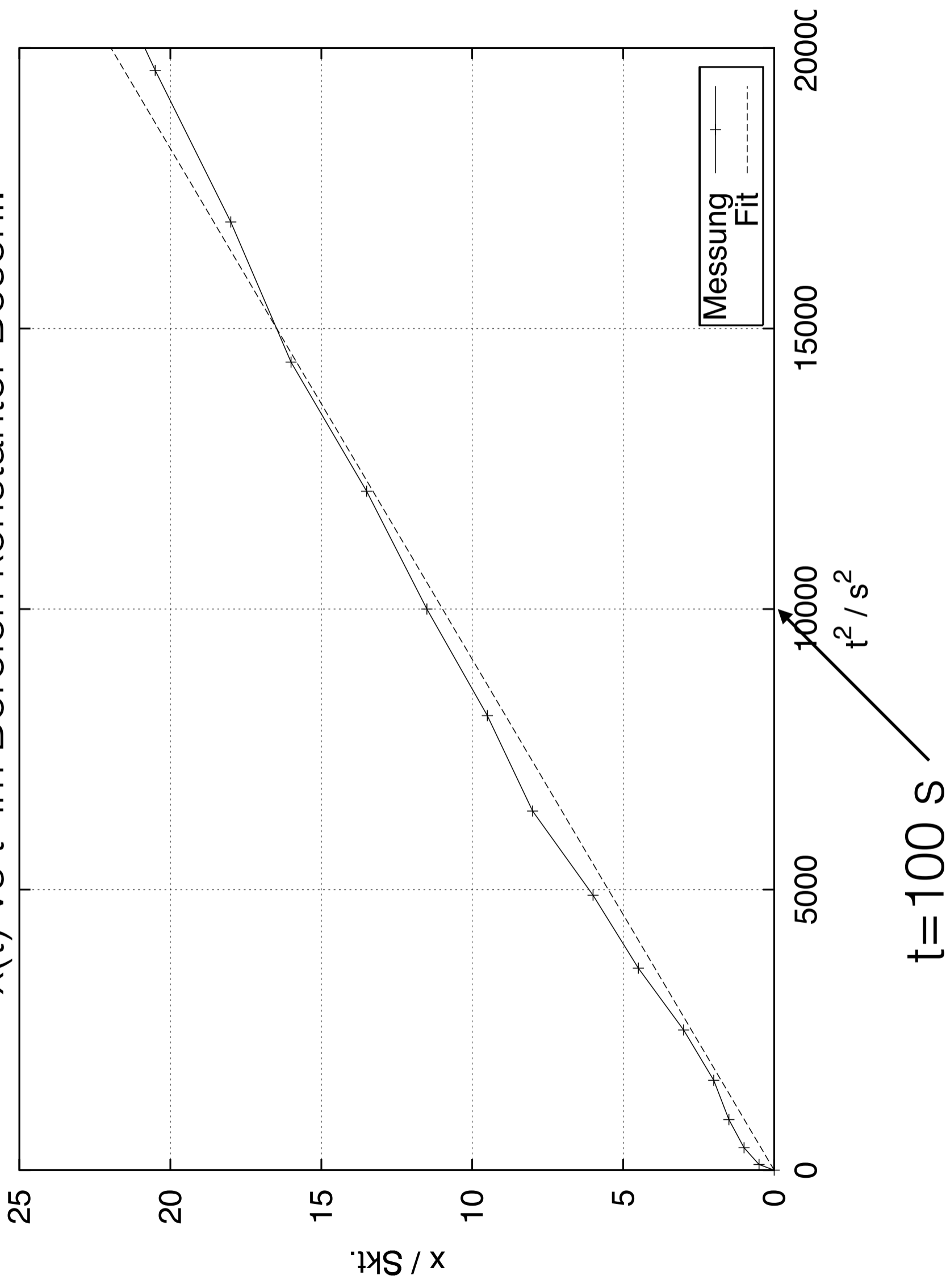
für  $t = 90 \text{ s}$

$$G = 4,7 \cdot 10^{-11} \text{ m}^3 \text{ kg}^{-1} \text{ s}^{-2}$$

Genauere Bestimmung durch Kombination der Messwerte im Bereich, wo  $\alpha$  konstant, d.h.  $t$  ausreichend klein.

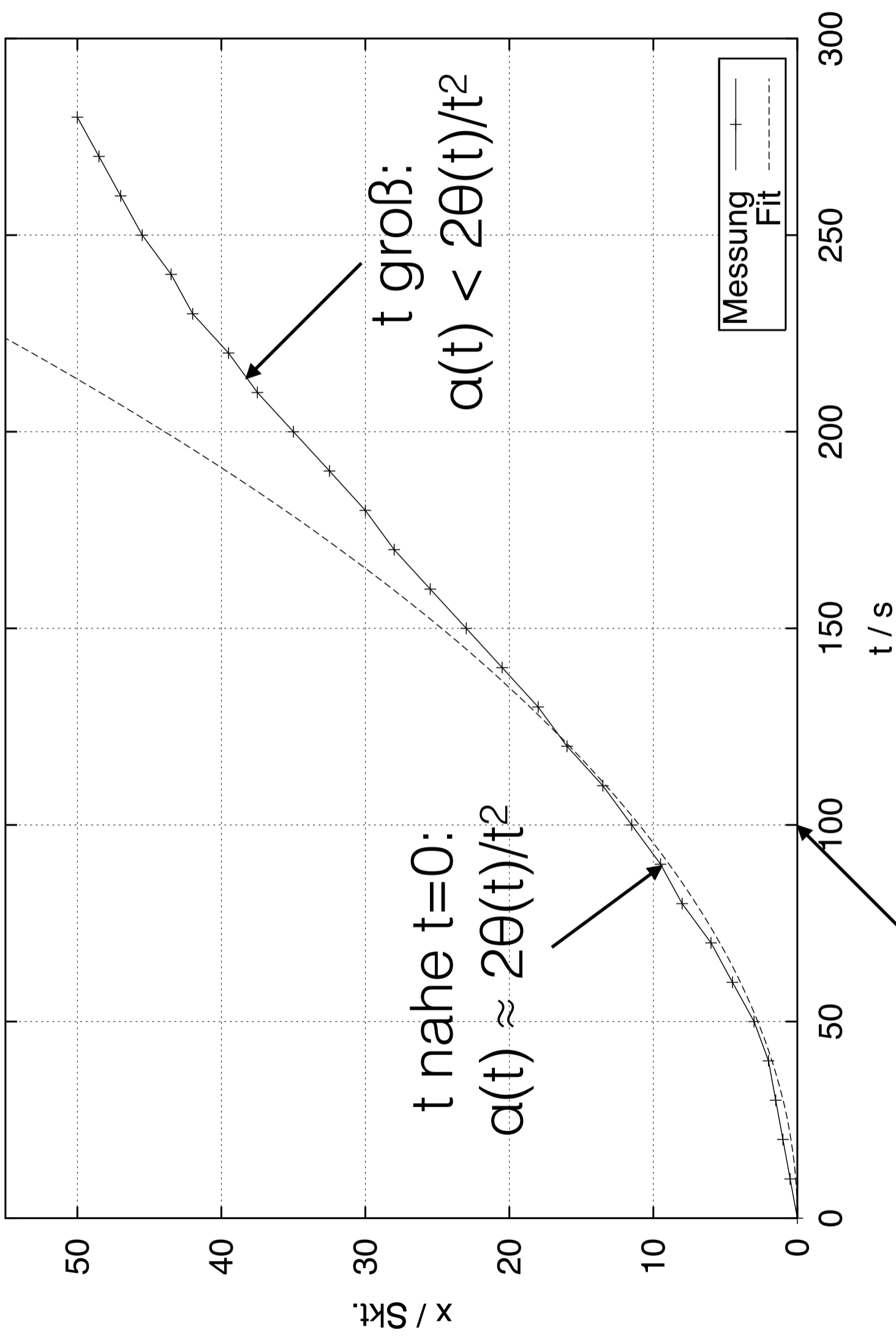
# Gleiches Experiment: frühere Messung

$x(t)$  vs  $t^2$  im Bereich konstanter Beschl.



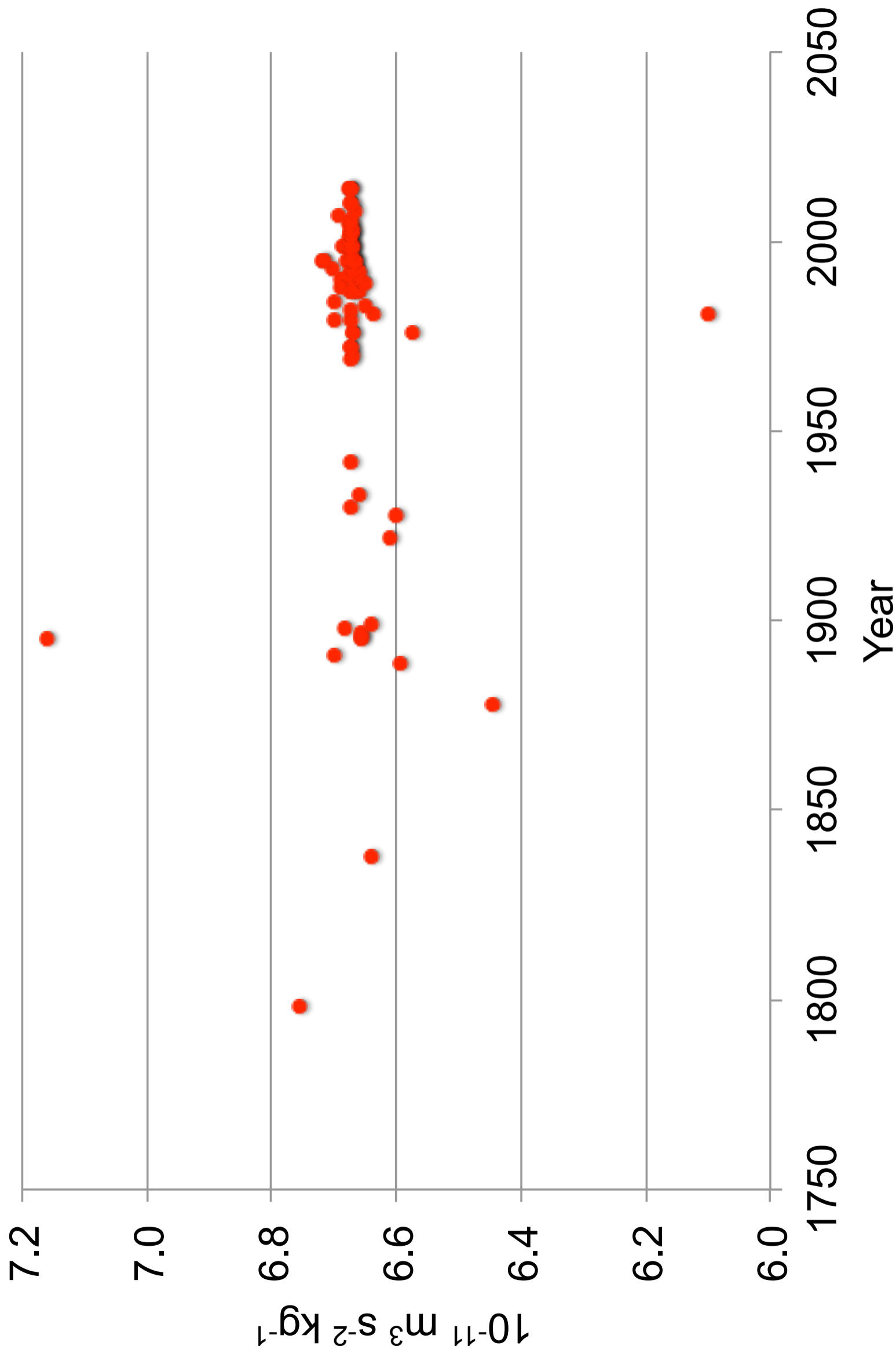
# Gleiches Experiment: frühere Messung

$x(t)$  vs  $t$  über längeren Zeitraum



$t=100$  s      Konstante Beschl.: gute Näherung bis  $t \sim 120$  s

# Werte von G



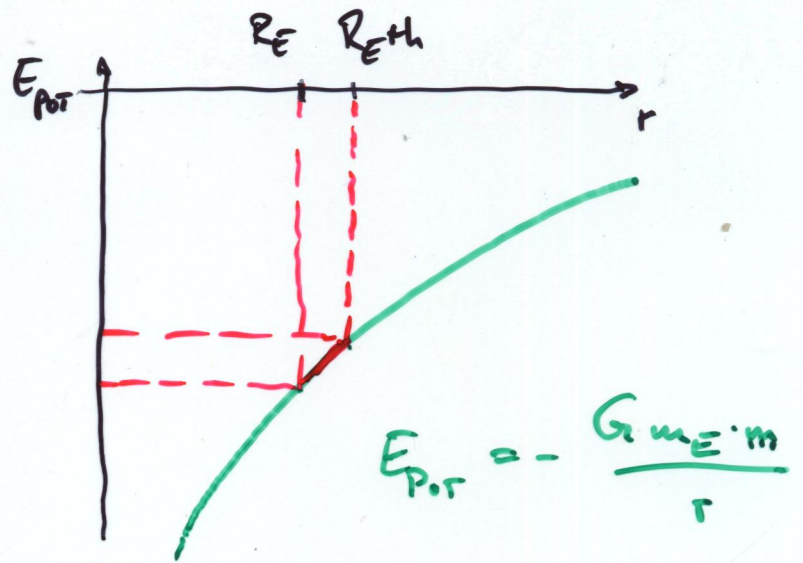
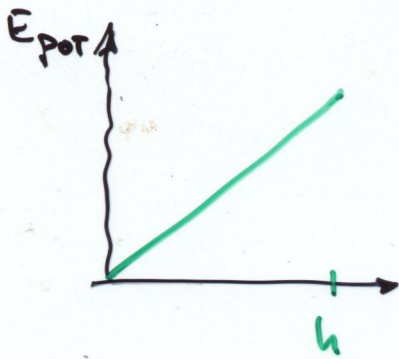
$$G = 6.674215 \pm 0.000092 \cdot 10^{-11} \text{ m}^3 \text{ kg}^{-1} \text{ s}^{-2}$$

TABLE II. One  $\sigma$  error budget.

Quantity	Measurement uncertainty	$\Delta G/G$ (ppm)
Systematic errors:		
Pendulum		
Width	<20 $\mu\text{m}$	0.4
Thickness and flatness	<4.0 $\mu\text{m}$	4.0
Attractor masses:		
Diagonal separation	<1.0 $\mu\text{m}$	7.1
Ball-bar calibration	<0.2 $\mu\text{m}$	1.4
Vertical separation	<1.0 $\mu\text{m}$	5.2
Sphere diameter	<1.5 $\mu\text{m}$	2.6
Temperature uncertainty	<100 mK	6.9
Mass	<3.0 mg	0.4
Air humidity		0.5
Residual twist angle		0.3
Magnetic fields		0.6
Rotating temperature gradient		0.4
Time base	<10 <sup>-7</sup>	0.1
Data reduction		2.0
Statistical error:		5.8
Total:		13.7

Relative  
Unsicherheit:  
 $1.37 \cdot 10^{-5}$

### 3.3. Gravitationspotential



$$A = \Delta E_{\text{Pot}}(h) = \int_{R_E}^{R_E+h} \vec{F} dr = \int_{R_E}^{R_E+h} \frac{G m_E m}{r^2} \cdot dr =$$

$$= -G m_E m \left( \frac{1}{R_E+h} - \frac{1}{R_E} \right)$$

$$= \frac{G m_E m}{R_E} \cdot \left( 1 - \frac{1}{1+h/R_E} \right)$$

Binomische

Reihe:  $\frac{1}{1+x} = \sum_{k=0}^{\infty} (-x)^k \Rightarrow x \ll 0 : 1 - x + \dots$

$1 - \frac{h}{R_E}$

$$= \frac{G \cdot m_E}{R_E^2} \cdot m \cdot h$$

$g$



$$A_{\infty} = \int_{R_E}^{\infty} \vec{F} d\vec{r} = \frac{G m_E m}{R_E} = E_P(\infty) - E_P(R_E)$$

↳ 0 Konvention

$$E_P(R_E) = - \frac{G m_E m}{R}$$

Potentielle Energie:  
Arbeit, um  $m$   
nach  $\infty$  zu bringen.

## Anwendungen

a)  $v_{\text{Flucht}}$ : Erdoberfläche:  $\frac{1}{2} m v_F^2 - \frac{G m_E m}{R_E} = 0$  Energieerhaltung

$$v_F = \sqrt{2 \cdot \frac{G \cdot m_E}{R_E}} = 11,2 \frac{\text{km}}{\text{s}}$$

b) Für  $v_F = c$ :  $R_S = \frac{2GM}{c^2}$

## Schwarzschildradius

Grenzradius, bei dem  
Objekt zu schwarzem Loch wird

### Beispiele:

Sonne:  $M_{\odot} = 2 \cdot 10^{30} \text{ kg} \Rightarrow R_S = 3 \text{ km} \quad R_{\odot} = 0,7 \cdot 10^6 \text{ km}$

Neutronensterne:  $M_N \approx M_{\odot} \dots 3 M_{\odot} \Rightarrow R_S < 10 \text{ km} \quad R_N < 20 \text{ km}$

Schwarze Löcher:  $M_S \geq 5 M_{\odot} \Rightarrow R_S \geq 15 \text{ km}$

↑  
bis zu  $10^{10} M_{\odot}$  beobachtet